



وزارت علوم، تحقیقات و فناوری  
دانشگاه بین المللی امام خمینی (ره)  
دانشکده علوم پایه

پایان نامه دوره کارشناسی ارشد شیمی آلی

### عنوان:

سنتر ترکیبات هتروسیکل جدید با استفاده از ۳-متیل-۱-فنیل-۲-پیرازولین-۵-اون در مجاورت نانو ذرات اکسید اهن

استاد راهنما:

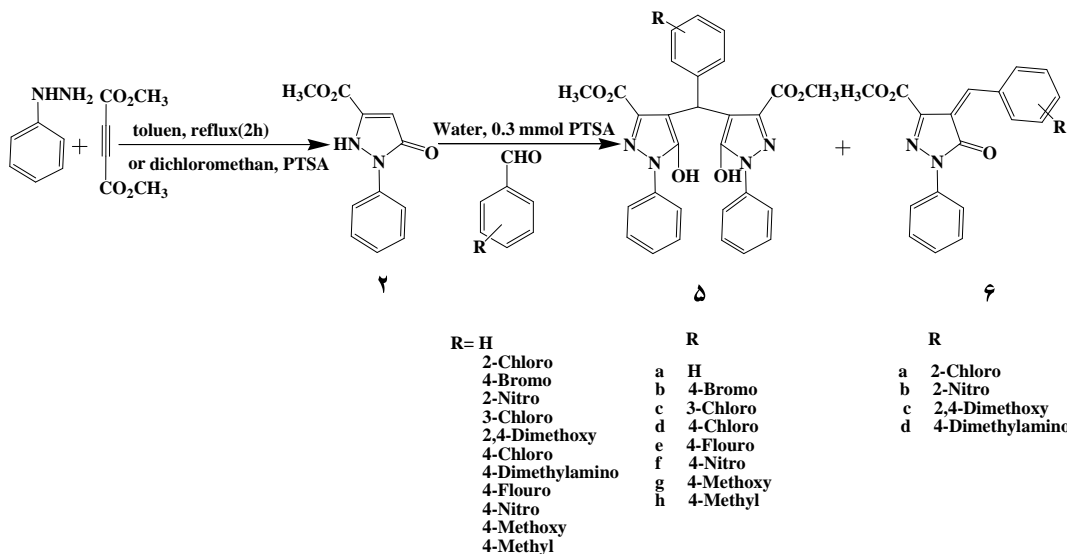
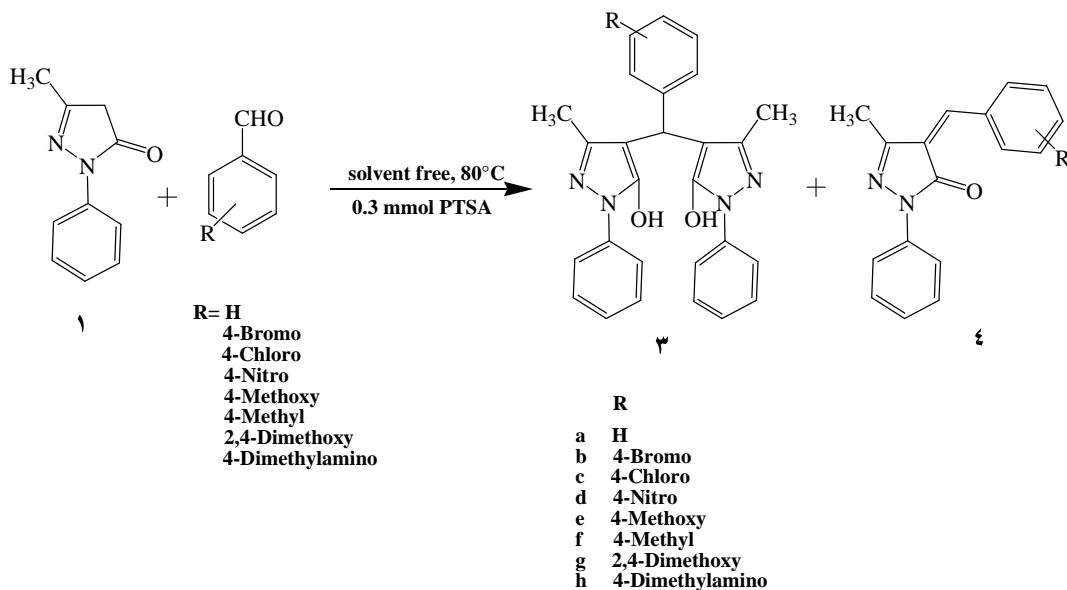
دکتر محمد بیات

استاد مشاور:  
دکتر عیسی یاوری

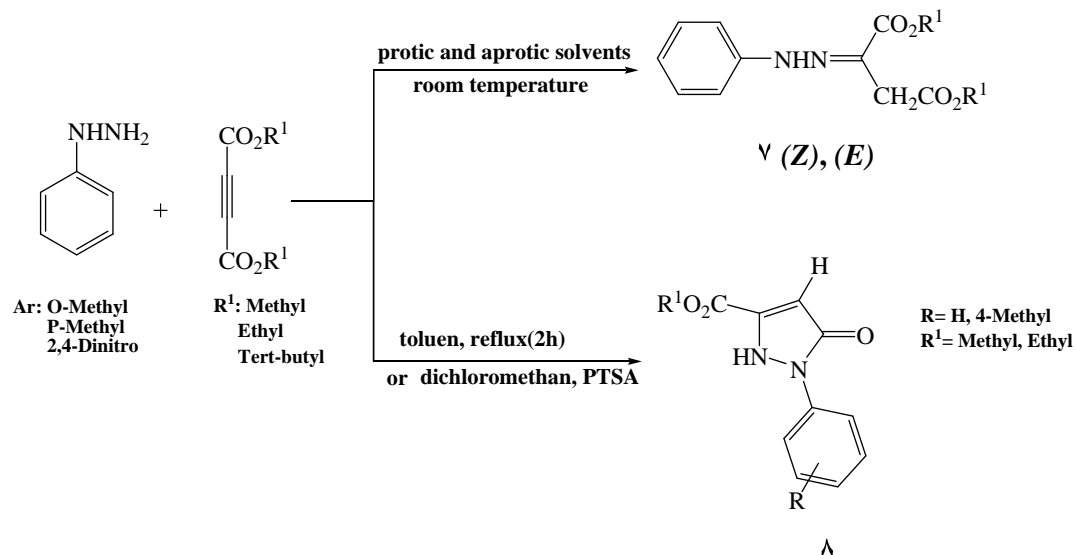
تهیه و تنظیم:  
امیر حسین وهابی

## چکیده:

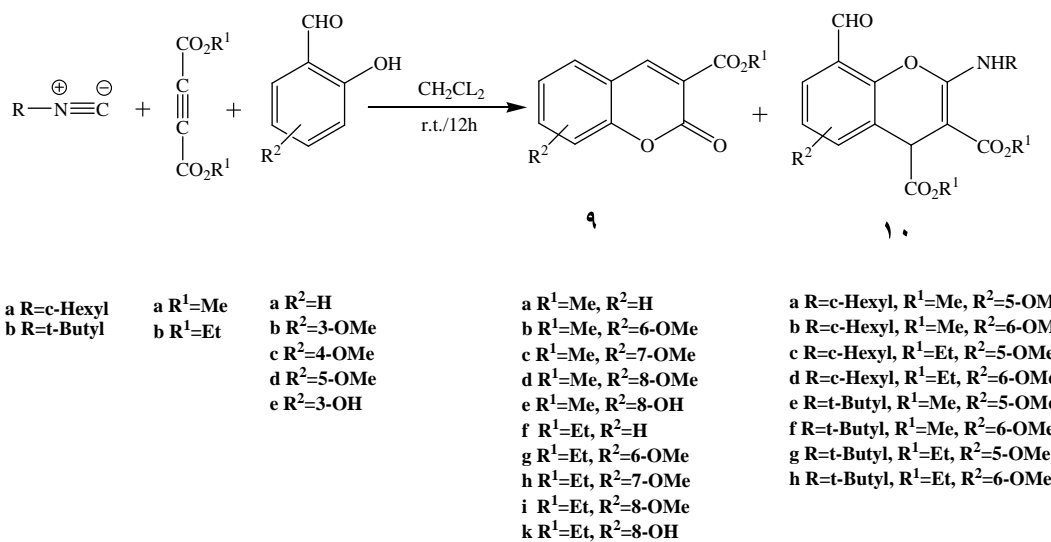
با استفاده از دو مشتق پیرازول یعنی ۳-متیل-۱-فنیل-۲-پیرازول-۵-اون (۱) و متیل ۲ و ۳-دی هیدرو-۳-اکسو-۲-فنیل-۱-هیدرو-پیرازول-۵-کربوکسیلات (۲) ترکیبات بیس (۵,۳) و نووناگل (۶,۴) با استفاده از مشتقات الدهیدهای اروماتیک در دو شرایط بدون حلال و اب به عنوان حلال در واکنش های شیمی سبز در مجاورت پارا تولوئن سولفونیک اسید انجام شد، که بیش از نیمی از این ترکیبات جدید هستند.

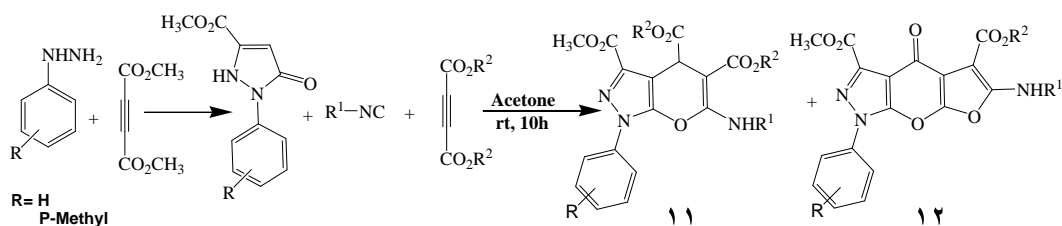


✓ سنتز و بررسی مشتقات فنیل هیدرازون ها ( $Z, E$ ) و پیرازول های (۸) که حاصل واکنش مشتقات استر های استیلینی و فنیل هیدرازین ها هستند.



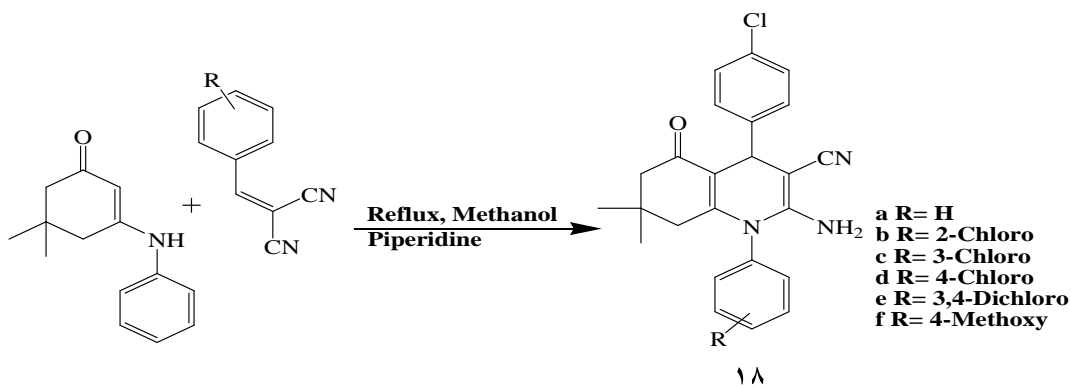
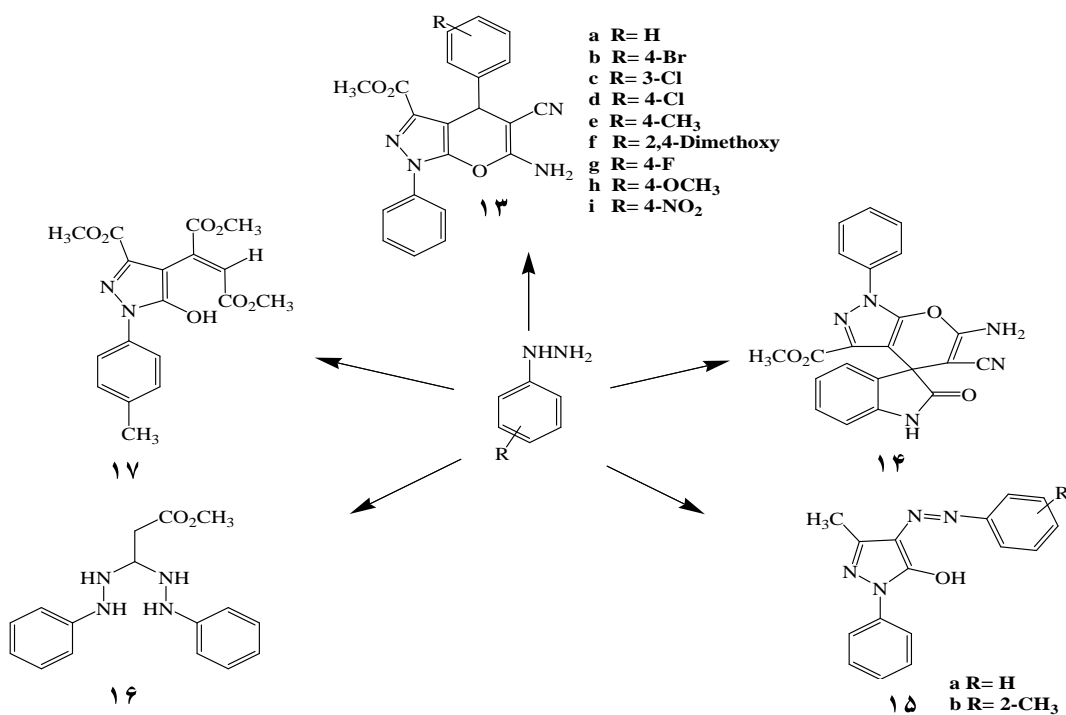
✓ سنتز ساختارهای نوین  $H^2$ -کروم (۹)،  $H^4$ -کروم (۱۰) و پیرانو [۳,۲-*c*]پیرازول های (۱۱،۱۲) با استفاده از ایزوسیانیدها و استر های استیلینی.





R	R <sup>1</sup>	R <sup>2</sup>
H	Cyclohexyl	CH <sub>3</sub>
CH <sub>3</sub>	Cyclohexyl	CH <sub>3</sub>
H	tert-Butyl	CH <sub>3</sub>
CH <sub>3</sub>	tert-Butyl	CH <sub>3</sub>
H	Cyclohexyl	tert-Butyl
CH <sub>3</sub>	Cyclohexyl	tert-Butyl
H	tert-Butyl	tert-Butyl

✓ سنتز ساختارهای هتروسیکلی می پردازم با استفاده از واکنش فنیل هیدرازین، مالونیتریل و الدهیدهای اروماتیک.



# هو القادر

تقدیم به

پدر و مادر عزیزم که زندگی خود را وقف رشد فرزندانشان کردن.

با سپاس از

یزدان پاک که همواره راهنمای من بوده و عنایتش را همواره در طول زندگیم احساس کردم. باشد تا بنده ای شاکر و فردی صالح در جهت اهداف الهی باشم.

سپاس ویژه از استاد گرامی جناب افای دکتر بیات که زحمات ایشان را فراموش نمی کنم.

با سپاس از استاد مشاور جناب دکتر عیسی یاوری که مقالات ایشان همواره راهنمایی برای دانشجویان بوده.

دانشجویان از مایشگاه تحقیقات خانم جانی، معصومی، شعبانی، ناصح فرد، جباری، تنهایی، کریمی و به افتاده و افایان توسلی، عسگرزاده و اکبری که از کمک های انها بهره مند شدم.

## فهرست

صفحه	عنوان
	فصل اول: سنتز ترکیبات بیس پیرازول و اریلیدن پیرازول
۱	۱-۱ معرفی و تاریخچه پیرازول
	۱-۲ واکنش های پیرازول
۲	۱-۲-۱ سنتز فضا گزین اسپیرو [سیکلوپروپان-۱،۴-پیرازولین-۵-اون] با استفاده از ۴-اریلیدن-۳-متیل-۱-فنیل پیرازولین-۵-اون در حضور ارسنیوم
۳	۱-۲-۲ واکنش الکتروشیمیایی چند جزیی ایزاتین، مالونیتریل، ۳-متیل-۲-پیرازولین-۵-اون به عنوان راهی اسان در سنتز سیستم های اسپیروسیکلیک [ایندول-۳،۴-پیرانو(۲،۳-پیرازول)]
۴	۱-۲-۳ سنتز تک ظرفی جدید و کارامد در تولید مشتقات فورو [۶،۵:۴]
	پیریدو [۳،۲-پیرازول با استفاده از ارگانوکاتالیست
۵	۱-۲-۴ سنتز تک ظرفی پیرازولو پیریمیدین- دی اون
۶	۱-۲-۵ سنتز مشتقات پیرانو [۲، ۳-پیرازول از طریق واکنش چند جزیی با استفاده از ایزووسیانید
۶-۷	۱-۲-۶ سنتز ۴،۴-(اریل متیلن) بیس (۱-هیدرو-پیرازول-۵-ال ها)
	۱-۳ بحث و نتیجه گیری
۸-۹	۱-۳-۱ سنتز ۴،۴-(اریل متیلن) بیس (H۱-پیرازول-۵-ال) و بنزیلیدن پیرازول
۱۰-۱۱	۱-۳-۲ سنتز متیل ۴،۴-(اریل متیلن) بیس (H۱-پیرازول-۵-ال) ۳-کربوکسیلات و بنزیلیدن پیرازول ۳-کربوکسیلات
۱۲-۱۳	۱-۳-۳ معرفی کارهایی که با شکست مواجه شد
۱۴	۱-۳-۴ نتیجه گیری
۱۵-۲۰	۱-۴ بخش تجربی
	فصل دوم: سنتز پیرازول، فنیل هیدرازون ها و بررسی ایزومری ان ها
۲۱	۱-۲ معرفی فنیل هیدرازین و هیدرازون
	۱-۲-۲ واکنشهای انجام شده بر پایه مشتقات فنیل هیدرازین و هیدرازون ها
۲۲	۱-۲-۲-۱ سنتز حلقه پیرازول با استفاده از مشتقات هیدرازین
۲۳	۱-۲-۲-۲ نانو منیزیوم اکساید و تری اتیل امین به عنوان کاتالیزور موثر بازی در سنتز سریع پیرانوپیرازول از طریق واکنش تاندم چهار جزیی

۲۴	-۳-۲-۲ سنتز تک ظرفی-چهار جزی دی الکیل ۵-(اریل)-۱-فنیل-۱-هیدرو-پیرازول-۳-۴-۳ دی کربوکسیلات ها
۲۴-۲۵	۴-۲-۲ اتصال متیلن فعال با نمک های اروماتیک و هترو اروماتیک دیازونیوم
۲۶	۵-۲-۲ واکنش فنیل هیدرازن با واکنشگر الکتروفیل
۲۷	۶-۲-۲ واکنش فنیل هیدرازن با نیتروژن نوکلئوفیل
	۳-۲ بحث و نتیجه گیری
۲۸	۱-۳-۲ واکنش کلی
۲۸	۱-۳-۲ مکانیزم پیشنهادی
۲۹-۳۰	۲-۳-۲ روش های شناسایی ایزو مرها
۳۰-۳۲	۳-۳-۲ تبدیل ایزمر ( $Z$ ) به ( $E$ )
۳۲-۳۳	۴-۳-۲ سنتز پیرازول
۳۴	۵-۳-۲ نتیجه گیری
۳۵-۳۸	۴-۲ بخش تجربی
	فصل سوم: سنتز کرومین ها و پیرانو پیرازول ها با استفاده از ایزو سیانید
	۳-۱ واکنش های انجام شده بر پایه ایزو سیانید
۳۹-۴۰	۱-۱-۳ واکنش های نوع نف
۴۰-۴۱	۲-۱-۳ واکنش های نوع یوگی
۴۳	۳-۱-۳ واکنش تک ظرفی ایزو سیانید با $\text{CH}$ اسیدها
۴۴	۳-۱-۳ واکنش تک ظرفی ایزو سیانید با $\text{NH}$ اسیدها
۴۵	۳-۱-۳ واکنش تک ظرفی ایزو سیانید با گروههای کربونیل
	۲-۳ بحث و نتیجه گیری
۴۶	۱-۲-۳ سنتز ساختارهای ۲-اکسو- $\text{H}_2\text{C}$ -کرومین و ۲-الکیل امینو- $\text{H}_4\text{C}$ -کرومین
۴۶-۴۷	۲-۲-۳ مکانیزم
۴۸	۳-۲-۳ سنتز پیرانو [۲-۳- $\text{C}$ ] پیرازول ها
۴۸-۴۹	۴-۲-۳ مکانیزم
۵۰	۵-۲-۳ نتیجه گیری

### ۳-۳ بخش تجربی

فصل چهارم: سنتز ترکیبات هتروسیکل در واکنش های چند جزیی

#### ۱-۱ بحث و نتیجه گیری

۵۱-۵۷	
۵۸	۱-۱-۴ معرفی کارهای انجام شده
۵۹	۲-۱-۴ سنتز چهار جزیی مشتقات ۶-امینو-۵-سیانو-۱ و ۴-دی هیدرو-پیرانو [۳،۲-پیرازول-۳-کربوکسیلات]
۶۰	۴-۳-۱ مکانیزم
۶۱	۴-۱-۴ سنتز اسپیرو پیرانو [۳،۲-پیرازول]
۶۱-۶۲	۴-۱-۵ مکانیزم
۶۲	۴-۱-۶ روشی نوین در سنتز ۴-(فنیل دیازنیل)-۳-متیل-۱-فنیل-H-پیرازول-۵-آل ها
۶۳	۴-۱-۷ سنتز متیل ۲،۳-دی (فنیل هیدرازنیل)-۳-پروپانووات
۶۴	۴-۱-۸ سنتز متیل ۴-(E)-۱،۲-دی(متوکسی کربونیل وینیل) وینیل-هیدروکسی-۱-پارا-تولیل-H-پیرازول کربوکسیلات
۶۴	۴-۹-۱ مکانیزم
۶۵	۴-۱-۱۰ سنتز چهار جزیی ۲-امینو-۴-کلروفنیل)-۱،۴،۷،۶،۵،۴-هگزا هیدرو-۷،۷-دی متیل-۵-اکسو-۷-فنیل کوئینولین-۳-کربونیتریل
۶۵-۶۶	۴-۱۱-۱ مکانیزم
۶۷-۷۲	۴-۲ بخش تجربی
۷۳-۷۷	مراجع
۷۸-۱۲۸	طیف های ضمیمه

## فهرست جداول

صفحه	عنوان
۱۱	جدول ۱: راندمان محصولات بیس-نووناکل
۴۸	جدول ۲: راندمان پیرانوپیرازول ها
۵۹	جدول ۳: راندمان مشتقات ۶-امینو-۵-سیانو-۱,۴-دی هیدرو-پیرانو [۲,۳-۳,۲] پیرازول-۳-کربوکسیلات
۶۵	جدول ۴: راندمان امینو پیریمیدین ها

## فهرست شکل ها

۱	شکل ۱: پیرازولون های موجود در بازار جهانی
۲	شکل ۲: فرم های پیرازوزولون
۲	شکل ۳: تولید فضا گزین اگزو [سیکلوبروپان-۱,۴-پیرازولین-۵-اون]
۳	شکل ۴: مکانیزم تولید اسپیرو [سیکلوبروپان-۱,۴-پیرازولین-۵-اون]
۳	شکل ۵: تولید ساختار های اسپیرو ایندول
۴	شکل ۶: مکانیزم تولید اسپیرو سیکلیک (ایندول-۳,۴-پیرانو [۲,۳-۳,۲] پیرازول)
۴	شکل ۷: تولید فورو [۳,۴: ۴,۵] پیریدو [۲,۳-۳,۲] پیرازول
۵	شکل ۸: مکانیزم فورو [۴,۳: ۴,۵] پیریدو [۲,۳-۳,۲] پیرازول
۵	شکل ۹: سنتز تک ظرفی پیرازولو پیریمیدین- دی اون
۵	شکل ۱۰: مکانیزم تولید پیرازولو پیریمیدین- دی اون
۶	شکل ۱۱: سنتز پیرانو [۲,۳-۳,۲] پیرازول
۶	شکل ۱۲: مکانیزم تولید پیرانو [۲,۳-۳,۲] پیرازول
۷	شکل ۱۳: سنتز ۴,۴-(اریل متیلن) بیس (۱-هیدرو-پیرازول-۵-ال ها)
۷	شکل ۱۴: مکانیزم تولید ۴,۴-(اریل متیلن) بیس (۱-هیدرو-پیرازول-۵-ال ها)
۸	شکل ۱۵: پیرازول های بکار رفته

- ۸ شکل ۱۶: سنتز ۴,۴-(اریل متیلن) بیس (H-پیرازول-۵-ال)
- ۹ شکل ۱۷: مکانیزم سنتز ۴,۴-(اریل متیلن) بیس (H-پیرازول-۵-ال)
- ۱۰ شکل ۱۸: سنتز متیل ۴,۴-(اریل متیلن) بیس (H-پیرازول-۵-ال)  
۳-کربوکسیلات و بنزیلیدن پیرازول ۳-کربوکسیلات
- ۱۲ شکل ۱۹: واکنش های شکست خورده
- ۱۳ شکل ۲۰: واکنش های شکست خورده
- ۲۱ شکل ۲۱: فنیل هیدرازین
- ۲۱ شکل ۲۲: فنیل هیدرازون
- ۲۲ شکل ۲۳: سنتز حلقه پیرازول با استفاده از فنیل هیدرازین و کتون در حضور استیک اسید
- ۲۲ شکل ۲۴: سنتز حلقه پیرازول با استفاده از مشتقات هیدرازین
- ۲۳ شکل ۲۵: سنتز سریع پیرانوپیرازول از طریق واکنش تاندم چهار جزی
- ۲۳ شکل ۲۶: مکانیزم تولید سریع پیرانوپیرازول از طریق واکنش تاندم چهار جزی
- ۲۴ شکل ۲۷: سنتز دی الکیل ۵-(اریل)-۱-فنیل-۱-هیدرو-پیرازول-۳,۴-دی کربوکسیلات ها
- ۲۴ شکل ۲۸: مکانیزم تولید دی الکیل ۵-(اریل)-۱-فنیل-۱-هیدرو-پیرازول-۳,۴-دی کربوکسیلات ها
- ۲۵ شکل ۲۹: اتصال متیلن فعال با نمک های اروماتیک و هترو اروماتیک دیازونیوم
- ۲۶ شکل ۳۰: واکنش فنیل هیدرازون با واکنشگر الکتروفیل
- ۲۷ شکل ۳۱: واکنش فنیل هیدرازون با نیتروژن نوکلئوفیل
- ۲۸ شکل ۳۲: سنتز فنیل هیدرازون و پیرازولون ها
- ۲۹ شکل ۳۳: مکانیزم تشکیل فنیل هیدرازون ها
- ۲۹ شکل ۳۴: روش های شناسایی ایزومرها (HNMR)
- ۳۰ شکل ۳۵: روش های شناسایی ایزومرها (IR)
- ۳۰ شکل ۳۶: روش های شناسایی ایزومرها (Color)
- ۳۱-۳۲ شکل ۳۷,۳۸: تبدیل ایزمر (Z) به (E)
- ۳۳ شکل ۳۹: تشکیل پیرازولون
- ۳۹ شکل ۴۰: افزایش ایزوسیانید ها به تری فلوئورو استیک اندرید
- ۳۹ شکل ۴۱: افزایش ایزوسیانید به اسیل کلریدها

- شکل ۴۲: واکنش نف-اکسازول ۴۰
- شکل ۴۳: واکنش نف-پرکو ۴۰
- شکل ۴۴: واکنش های نوع یوگی ۴۰
- شکل ۴۵: واکنش یوگی-اسمایل ۴۱
- شکل ۴۶: واکنش سه جزیی زیر به پاسیرینی-اسمایل ۴۱
- شکل ۴۷: نخستین واکنش ایزو-سیانید و ترکیبات استیلani ۴۲
- شکل ۴۸: واکنش تک ظرفی ایزو-سیانید با CH اسیدها ۴۳
- شکل ۴۹: مکانیزم تولید پیرانو [C-۳, ۲-پیرازول] ۴۳
- شکل ۵۰: واکنش تک ظرفی ایزو-سیانید با NH اسیدها ۴۴
- شکل ۵۱: مکانیزم تولید H-۵-او-۳-تیازولو [۳, ۲-پیریمیدین] ۴۴
- شکل ۵۲: واکنش تک ظرفی ایزو-سیانید با گروههای کربونیل ۴۵
- شکل ۵۳: واکنش کلی سنتز ساختارهای ۲-اکسو-H-۲-کروممن و ۲-الکیل امینو-H-۴-کروممن ۴۶
- شکل ۵۴: مکانیزم تولید ۲-الکیل امینو-H-۴-کروممن ۴۷
- شکل ۵۵: مکانیزم تولید ۲-اکسو-H-۲-کروممن ۴۷
- شکل ۵۶: تشکیل اکسا استامید ۴۷
- شکل ۵۷: واکنش کلی سنتز پیرانو [C-۳, ۲-پیرازول] ۴۸
- شکل ۵۸: مکانیزم تولید پیرانو [C-۳, ۲-پیرازول] ۱۱ a-g ۴۹
- شکل ۵۹: مکانیزم تولید پیرانو [C-۳, ۲-پیرازول] ۱۲ a-c ۴۹
- شکل ۶۰: فهرست ترکیبات سنتز شده ۵۸
- شکل ۶۱: واکنش کلی سنتز مشتقات ۶-امینو-۵-سیانو-۱, ۴-دی هیدرو-پیرانو [C-۳, ۲-پیرازول] ۳-کربوکوسیلات ۵۹
- شکل ۶۲: مکانیزم مشتقات ۶-امینو-۵-سیانو-۱, ۴-دی هیدرو-پیرانو [C-۳, ۲-پیرازول] ۳-کربوکوسیلات ۶۰
- شکل ۶۳: واکنش کلی سنتز اسپیرو پیرانو [C-۳, ۲-پیرازول] ۶۱
- شکل ۶۴: مکانیزم تولید سنتز اسپیرو پیرانو [C-۳, ۲-پیرازول] ۶۱-۶۲
- شکل ۶۵: سنتز ۴-(فنیل دیازنیل)-۳-متیل-۱-فنیل-H-۱-پیرازول-۵-آل ها ۶۳
- شکل ۶۶: سنتز متیل ۲, ۳-دی (۲-فنیل هیدرازنیل)-۳-پروپانووات ۶۳

- ۶۴ شکل ۶۷: سنتز ۱,۲-دی(متوکسی کربونیل وینیل)وینیل-هیدروکسی-۱-پار-اتولیل-۱H-پیرازول-۵-کربوکسیلات
- ۶۴ شکل ۶۸: سنتز ۱,۲-دی(متوکسی کربونیل وینیل)وینیل-هیدروکسی-۱-پار-اتولیل-۱H-پیرازول-۵-کربوکسیلات
- ۶۵ شکل ۶۹: سنتز امینو پیریمیدین
- ۶۶ شکل ۷۰: مکانیزم تولید امینو پیریمیدین

### راهنمای طیفی

- ۷۸ طیف ۱: طیف  $^1\text{HNMR}$  ۳۰۰ MHz ترکیب **۳c** در  $\text{CDCl}_3$
- ۷۹ طیف ۲: طیف  $^{13}\text{CNMR}$  ۷۵.۴ MHz ترکیب **۳c** در  $\text{CDCl}_3$
- ۸۰ طیف ۳: طیف IR ترکیب **۳c**
- ۸۱ طیف ۴: طیف  $^1\text{HNMR}$  ۳۰۰ MHz ترکیب **۴a** در  $\text{CDCl}_3$
- ۸۲ طیف ۵: طیف  $^{13}\text{CNMR}$  ۷۵.۴ MHz ترکیب **۴a** در  $\text{CDCl}_3$
- ۸۳ طیف ۶: طیف IR ترکیب **۴a**
- ۸۴ طیف ۷: طیف  $^1\text{HNMR}$  ۳۰۰ MHz ترکیب **۵e** در  $\text{CDCl}_3$
- ۸۵ طیف ۸: طیف  $^{13}\text{CNMR}$  ۷۵.۴ MHz ترکیب **۵e** در  $\text{CDCl}_3$
- ۸۶ طیف ۹: طیف IR ترکیب **۵e**
- ۸۷ طیف ۱۰: طیف  $^1\text{HNMR}$  ۳۰۰ MHz ترکیب **۶b** در  $\text{CDCl}_3$
- ۸۸ طیف ۱۱: طیف  $^{13}\text{CNMR}$  ۷۵.۴ MHz ترکیب **۶b** در  $\text{CDCl}_3$
- ۸۹ طیف ۱۲: طیف IR ترکیب **۶b**
- ۹۰ طیف ۱۳: طیف  $^1\text{HNMR}$  ۳۰۰ MHz ترکیب **۷a** در  $\text{CDCl}_3$
- ۹۱ طیف ۱۴: طیف  $^{13}\text{CNMR}$  ۷۵.۴ MHz ترکیب **۷a** در  $\text{CDCl}_3$
- ۹۲ طیف ۱۵: طیف IR ترکیب **۷a**

- ٩٣ طيف ١٦: طيف  $^1\text{H}$ NMR 300 MHz ٣٠٠ ترکیب **٧b** در  $\text{CDCl}_3$
- ٩٤ طيف ١٧: طيف IR ترکیب **٧b**
- ٩٥ طيف ١٨: طيف  $^1\text{H}$ NMR 300 MHz ٣٠٠ ترکیب **٨b** در  $\text{Acetone-D}_6$
- ٩٦ طيف ١٩: طيف  $^{13}\text{C}$ NMR 75.4 MHz ٧٥.٤ ترکیب **٨b** در  $\text{Acetone-D}_6$
- ٩٧ طيف ٢٠: طيف IR ترکیب **٩b**
- ٩٨ طيف ٢١: طيف  $^1\text{H}$ NMR 300 MHz ٣٠٠ ترکیب **٩c** در  $\text{CDCl}_3$
- ٩٩ طيف ٢٢: طيف  $^{13}\text{C}$ NMR 75.4 MHz ٧٥.٤ ترکیب **٩c** در  $\text{CDCl}_3$
- ١٠٠ طيف ٢٣: طيف IR ترکیب **٩c**
- ١٠١ طيف ٢٤: طيف Mass ترکیب **٩c**
- ١٠٢ طيف ٢٥: طيف  $^1\text{H}$ NMR 300 MHz ٣٠٠ ترکیب **١٠b** در  $\text{CDCl}_3$
- ١٠٣ طيف ٢٦: طيف  $^{13}\text{C}$ NMR 75.4 MHz ٧٥.٤ ترکیب **١٠b** در  $\text{CDCl}_3$
- ١٠٤ طيف ٢٧: طيف IR ترکیب **١٠b**
- ١٠٥ طيف ٢٨: طيف Mass ترکیب **١٠b**
- ١٠٦ طيف ٢٩: طيف  $^1\text{H}$ NMR 300 MHz ٣٠٠ ترکیب **١١d** در  $\text{CDCl}_3$
- ١٠٧ طيف ٣٠: طيف  $^{13}\text{C}$ NMR 75.4 MHz ٧٥.٤ ترکیب **١١d** در  $\text{CDCl}_3$
- ١٠٨ طيف ٣١: طيف IR ترکیب **١١d**
- ١٠٩ طيف ٣٢: طيف  $^1\text{H}$ NMR 300 MHz ٣٠٠ ترکیب **١٢b** در  $\text{CDCl}_3$
- ١١٠ طيف ٣٣: طيف  $^{13}\text{C}$ NMR 75.4 MHz ٧٥.٤ ترکیب **١٢b** در  $\text{CDCl}_3$
- ١١١ طيف ٣٤: طيف IR ترکیب **١٢b**
- ١١٢ طيف ٣٥: طيف  $^1\text{H}$ NMR 300 MHz ٣٠٠ ترکیب **١٣g** در  $\text{Acetone-D}_6$
- ١١٣ طيف ٣٦: طيف  $^{13}\text{C}$ NMR 75.4 MHz ٧٥.٤ ترکیب **١٣g** در  $\text{Acetone-D}_6$
- ١١٤ طيف ٣٧: طيف IR ترکیب **١٣g**
- ١١٥ طيف ٣٨: طيف  $^1\text{H}$ NMR 300 MHz ٣٠٠ ترکیب **١٤** در  $\text{DmsO-D}_6$
- ١١٦ طيف ٣٩: طيف  $^{13}\text{C}$ NMR 75.4 MHz ٧٥.٤ ترکیب **١٤** در  $\text{DmsO-D}_6$
- ١١٧ طيف ٤٠: طيف IR ترکیب **١٤**
- ١١٨ طيف ٤١: طيف  $^1\text{H}$ NMR 300 MHz ٣٠٠ ترکیب **١٥a** در  $\text{CDCl}_3$

- ۱۱۹ طیف ۴۲: طیف  $^{13}\text{CNMR}$  ۷۵.۴ MHz ترکیب ۱۵a در  $\text{CDCl}_3$
- ۱۲۰ طیف ۴۳: طیف  $^1\text{HNMR}$  ۳۰۰ MHz ترکیب ۱۶ در  $\text{Acetone-D}_6$
- ۱۲۱ طیف ۴۴: طیف  $^{13}\text{CNMR}$  ۷۵.۴ MHz ترکیب ۱۶ در  $\text{Acetone-D}_6$
- ۱۲۲ طیف ۴۵: طیف IR ترکیب ۱۶
- ۱۲۳ طیف ۴۶: طیف  $^1\text{HNMR}$  ۳۰۰ MHz ترکیب ۱۷ در  $\text{CDCl}_3$
- ۱۲۴ طیف ۴۷: طیف  $^{13}\text{CNMR}$  ۷۵.۴ MHz ترکیب ۱۷ در  $\text{CDCl}_3$
- ۱۲۵ طیف ۴۸: طیف IR ترکیب ۱۷
- ۱۲۶ طیف ۴۹: طیف  $^1\text{HNMR}$  ۳۰۰ MHz ترکیب ۱۸d در  $\text{Dmso-D}_6$
- ۱۲۷ طیف ۵۰: طیف  $^{13}\text{CNMR}$  ۷۵.۴ MHz ترکیب ۱۸d در  $\text{Dmso-D}_6$
- ۱۲۸ طیف ۵۱: طیف IR ترکیب ۱۸d

## فصل اول:

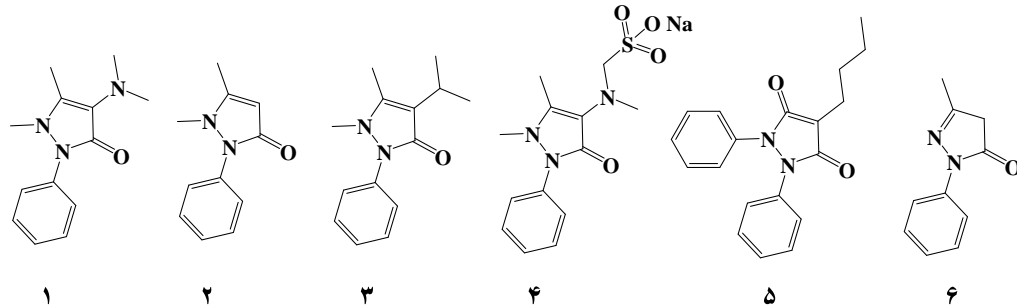
سنتر ترکیبات بیس پیرازول و اریلیدن پیرازول

This document was created with Win2PDF available at <http://www.daneprairie.com>.  
The unregistered version of Win2PDF is for evaluation or non-commercial use only.

## ۱-۱ معرفی و تاریخچه پیرازول

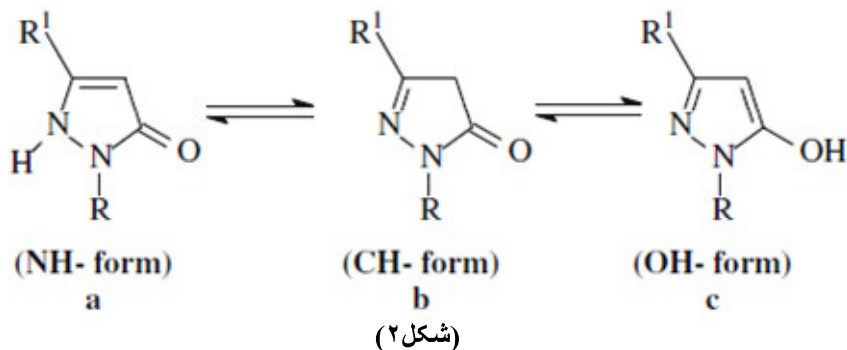
شیمی پیرازولون ها<sup>۱</sup> در اوخر قرن نوزدهم میلادی (۱۸۸۳) با معرفی اولین مشتق پیرازولون توسط افای نور<sup>۲</sup> اغاز شد. واکنش فنیل هیدرازین با اتیل استواتات منجر به ساختار جدیدی شده بود که در سال ۱۸۸۷ به عنوان ۱-فنیل-۳-متیل-۵-پیرازولون شناخته شد [۱]. سنتز پیرازولون ها به روش نور شامل واکنش مشتقات هیدرازین با ترکیبات ۱و۳-دی کربونیل است که منجر به ایجاد حلقه های پیرازول و پیرازولون می گردد. پیرازولون یک حلقه لاکتم پنج عضوی است که دارای دو نیتروژن و یک گروه کتون در حلقه است. مشتقات استخلاف متیل روی نیتروژن ان یا امینوپیرین در سال ۱۸۹۷ معرفی شد ولی به دلیل ویژگی ان در تشکیل نیتروزامین در سال ۱۹۷۰ میلادی از بازارهای جهانی جمع اوری شد. هر چند دیپیرون از دیگر مشتقات پیرازولون از سال ۱۹۲۲ مورد استفاده کلینیکی قرار می گیرد. انتی پیرین اولین ترکیب از مشتقات پیرازولون بود که در سال ۱۸۸۷ به عنوان دارو مورد استفاده قرار گرفت و همانطور که از نام ان مشخص است به عنوان اولین عامل ضد التهاب در درمان ارتوز و دیگر التهابات مفصلی عضلانی مورد استفاده قرار گرفت. این کشف اغارتی بود بر چیرگی صنعت داروسازی المان که زمانی در حدود ۴۰ سال را در بر می گرفت. گزارش شده ترکیباتی مانند ۳-الکل-۴-اریل متیل پیرازول-۵-اون دارای فعالیت انتی هیبرگلیسیمیک<sup>۳</sup> است در حالیکه ۱-فنیل-۳-ستترافلورواتیل پیرازول-۵-اون عامل ضد اضطراب می باشد. بنابراین فعالیت بیولوژیک پیرازول-۵-اون ها وابسته به استخلاف در موقعیت ۳ می باشد [۲]. ۳-متیل-۱-فنیل-۲-پیرازولین-۵-اون به عنوان پر تکرار ترین ترکیب از مشتقات پیرازولین در مقالات علمی برای درمان بیماران مبتلا به اخطلالات حاد مغزی مورد استفاده قرار می گیرد [۳]. شکل ۱ به معرفی و ذکر ویژگی های مشتقانی از پیرازولون ها می پردازد که در سیستم بازار جهانی از اهمیت ویژه ای برخوردار است.

Name	Structure	Brand name	Uses
Antipyrine	۱	Phenzone Analgesine	Analgesic, Antipyretic
Aminiphenazone	۲	Aminopyrin	Analgesic, Antiinflamatory
Propyphenazone	۳	Pyramidone Anodynin	Analgesic, Antiinflamatory, in rheumatism, in cardiovascular disorder
Metamizole	۴	Novalgin Dipyrone Analgin Algozone	Analgesic, Antipyretic, Antiinflamatory
Phenylbutazone	۵	Atropan Azdid Butazolidin Phanyzone	Analgesic, Antiinflamatory, in rheumatism, in cardiovascular disorder
Edaravone	۶	Edaravone MCI-186	As antioxidant, In cerebral ischemia, rheumatism, in cardiovascular disorder



(شکل ۱)

۵-پیرازولون ها در محلول به سه فرم NH, CH, OH وجود دارد که به سادگی به وسیله طیف IR, HNMR قابل تشخیص است. (شکل ۲)

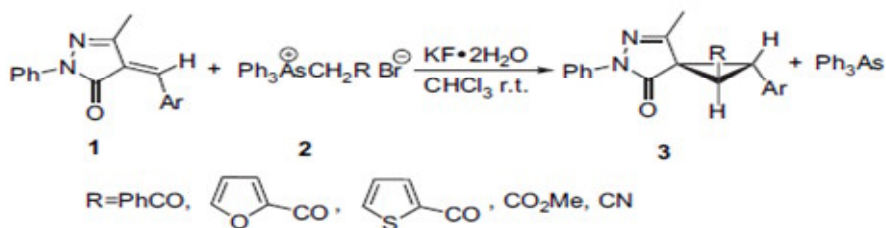


طیف IR فرم های OH/NH نشانگر باندهای کششی پهن در ناحیه ۲۳۴۴-۳۳۰۰ نانومتر که به دلیل پیوند هیدروژنی به فرکانس پایین شیفت کرده است.

## ۱- ۲- واکنش های پیرازول

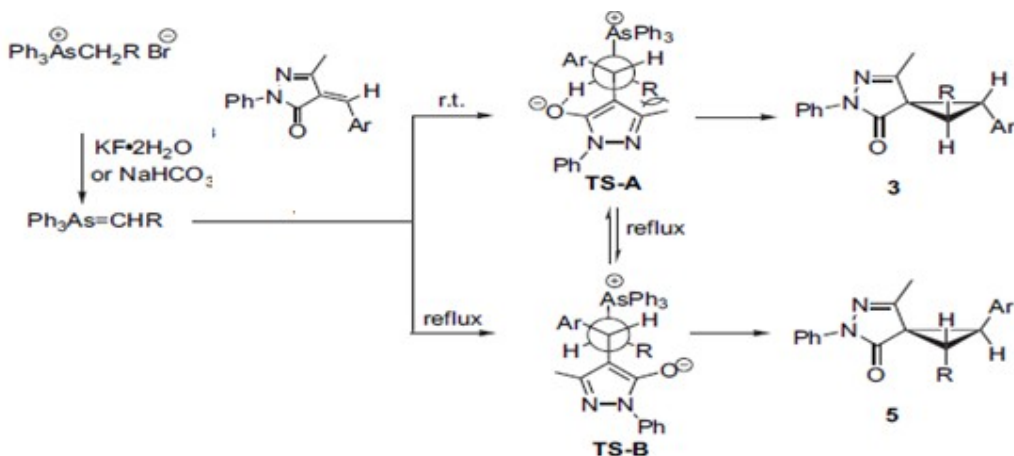
-۱-۲-۱ سنتز فضا گرین اسپیرو [سیکلوفروپان-۱,۴-پیرازولین-۵-اون] با استفاده از ۴-اریلیدن-۳-متیل-۱-فنیل-پیرازولین-۵-اون در حضور ارسنیوم

مطابق شکل ۳، واکنش شامل تولید فضا گزین اگزو[سیکلوفروپان-۱,۴-پیرازولین-۵-اون]<sup>۱</sup>, (۶) که به عنوان تنها ایزومر محصول فرایند ۴-اریلیدن-۳-متیل-۱-فنیل-پیرازولین-۵-اون<sup>۷</sup>, (۷) با نمک ارسنیوم<sup>۸</sup> در حضور KF است.



(شکل ۳)

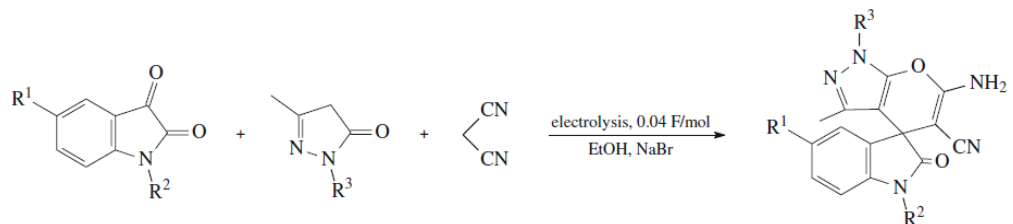
بر طبق مکانیزم (شکل ۴) ایلید ارسنیوم که در نتیجه پروتون زدایی نمک ارسنیوم حاصل شده با حمله نوکلوفیلی به ترکیب<sup>۷</sup> (۷) دو حالت گذار (TSB) و (TSA) ایجاد می کند. اگزو اسپیرو سیکلیک<sup>۹</sup>, (۹) از مسیر TS-A ایجاد می گردد در حالیکه ایزومر TS-B حاصل می شود. مشخص شده که دمای واکنش نقش مهمی در انتخاب یکی از این دو مسیر بازی می کند. در دمای اتفاق TS-A به دلیل تشکیل پیوند هیدروژن بین هیدروژن و انسیون اکسیژن بر TS-B غلبه دارد و ایزومر<sup>۹</sup> (۹) به عنوان تنها محصول حاصل می شود. در دمای بالاتر هر دو حالت گذار می تواند وجود داشته باشد. زیرا بخشی از TS-A به دلیل مانع فضایی بین گروه متریل و گروه حجیم R می تواند به TS-B تبدیل گردد. این واقعیت که با افزایش دما پیوند هیدروژنی در TS-A کاهش می یابد می تواند توجیهی در افزایش بازده ایزومر endo در شرایط رفلکس باشد<sup>[۴]</sup>.



(شکل ۴)

۱-۲-۲- واکنش الکتروشیمیابی چند جزیی ایزاتین، مالونیتریل، ۳-متیل-۲-پیرازولین-۵-اون به عنوان راهی اسان در سنتز سیستم های اسپیرووسیکلیک [ایندول-۳،۴-پیرانو]۲-پیرانو[۳،۴-پیرانو]

مطابق شکل ۵، این سنتز معرف و اکنشی است که الکتروشیمی تولید ساختارهای اسپیرو ایندول را با استفاده از مالونیتریل<sup>۱</sup>(۱۳)، ایزاتین<sup>۲</sup>(۱۱) و ۳-متیل-۲-پیرازولین-۵-اون<sup>۳</sup>(۱۲) را در حضور سدیم بر مید به عنوان الکترولیت انجام می گیرد<sup>[۵]</sup>.



a R<sup>1</sup> = H, R<sup>2</sup> = H  
b R<sup>1</sup> = H, R<sup>2</sup> = Me  
c R<sup>1</sup> = H, R<sup>2</sup> = Bn  
d R<sup>1</sup> = Cl, R<sup>2</sup> = H  
e R<sup>1</sup> = Me, R<sup>2</sup> = H

a R<sup>3</sup> = Ph  
b R<sup>3</sup> = H

a R<sup>1</sup> = H, R<sup>2</sup> = H, R<sup>3</sup> = Ph; b R<sup>1</sup> = H, R<sup>2</sup> = Me, R<sup>3</sup> = Ph;  
c R<sup>1</sup> = H, R<sup>2</sup> = Bn, R<sup>3</sup> = Ph; d R<sup>1</sup> = Cl, R<sup>2</sup> = H, R<sup>3</sup> = Ph;  
e R<sup>1</sup> = Me, R<sup>2</sup> = H, R<sup>3</sup> = Ph; f R<sup>1</sup> = H, R<sup>2</sup> = H, R<sup>3</sup> = H;  
g R<sup>1</sup> = H, R<sup>2</sup> = Me, R<sup>3</sup> = H; h R<sup>1</sup> = H, R<sup>2</sup> = Bn, R<sup>3</sup> = H;  
i R<sup>1</sup> = Cl, R<sup>2</sup> = H, R<sup>3</sup> = H

(شکل ۵)

چرخه کاتالیزور واکنش با پروتون زدایی مولکول الکل در کاتد که منجر به تولید یون اتوکساید می شود اغاز میگردد. سپس واکنش بین یون اتوکساید و مالونیتریل، یون مالونیتریل را به وجود می اورد.(شکل ۶)